

### Eingabe: Farbmimetrisches Reflexions-System MRS18

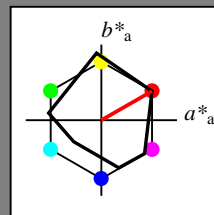
für Buntton  $h^* = lab^*h = 30/360 = 0.083$

$lab^*ch$  und  $lab^*nch$

D65: Buntton R

LCH\*Ma: 50 77 30

rgb\*Ma: 1.0 0.0 0.0



MRS18; adaptierte CIELAB-Daten					
	$L^*=L_a^*$	$a_a^*$	$b_a^*$	$C_{ab,a}^*$	$h_{ab,a}^*$
RMa	49.63	66.96	38.37	77.18	30
JMa	90.7	-6.36	88.75	88.98	94
GMa	52.11	-69.73	9.44	70.37	172
G50BMa	45.03	-36.57	-28.47	46.36	218
BMa	36.65	23.19	-63.05	67.18	290
B50RMa	34.94	57.17	-44.26	72.31	322
NMa	18.01	0.0	0.0	0.0	0
WMa	95.41	0.0	0.0	0.0	0
RCIE	39.92	58.66	26.98	64.56	25
JCIE	81.26	-2.17	67.76	67.79	92
GCIE	52.23	-42.26	11.75	43.87	164
BCIE	30.57	1.15	-46.84	46.87	271

Dreiecks-Helligkeit  $t^*$

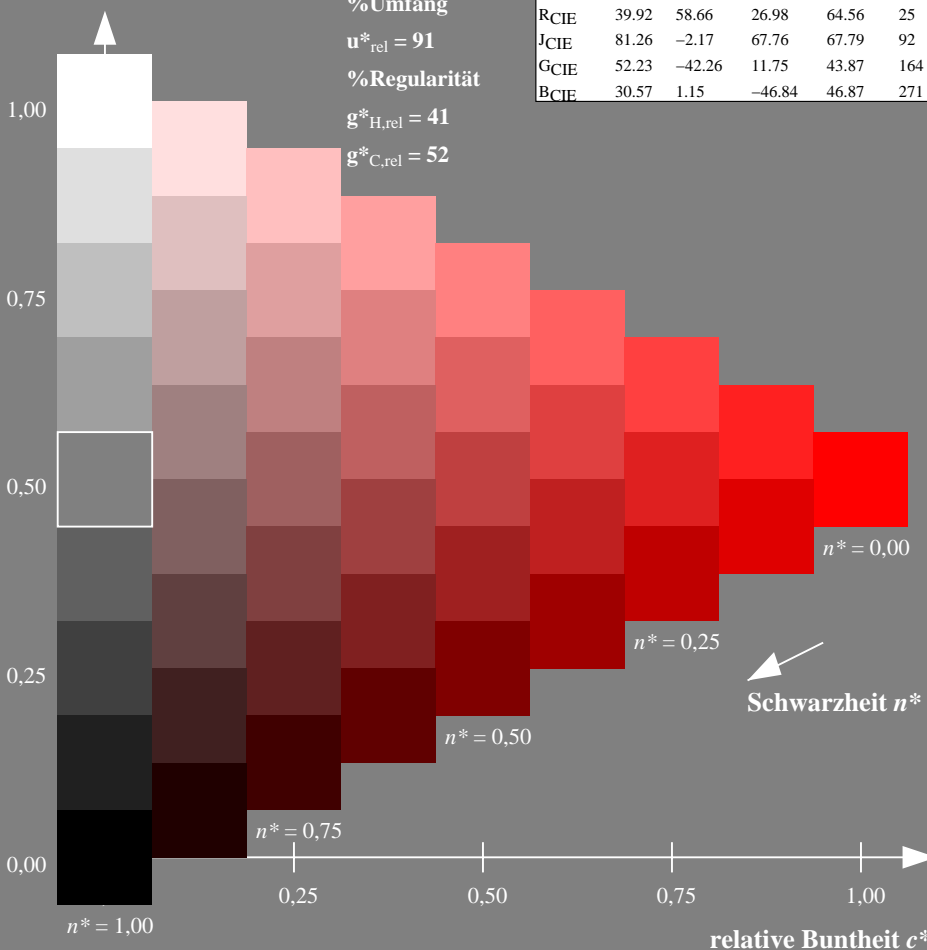
%Umfang

$u_{rel}^* = 91$

%Regularität

$g_{H,rel}^* = 41$

$g_{C,rel}^* = 52$



TG950-7, 9stufige Reihen für konstanten CIELAB Buntton 30/360 = 0.083 (links)

BAM-Prüfvorlage TG95; Farbmimetrik-Systeme MRS18 & ORS18  
D65: 9 und 16stufige Farbreihen für 10 Bunttöne

### Ausgabe: Farbmimetrisches Reflexions-System ORS18

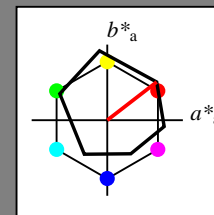
für Buntton  $h^* = lab^*h = 38/360 = 0.105$

$lab^*ch$  und  $lab^*nch$

D65: Buntton O

LCH\*Ma: 48 83 38

rgb\*Ma: 1.0 0.0 0.0



ORS18; adaptierte CIELAB-Daten					
	$L^*=L_a^*$	$a_a^*$	$b_a^*$	$C_{ab,a}^*$	$h_{ab,a}^*$
OMa	47.94	65.37	50.52	82.62	38
YMa	90.37	-10.27	91.77	92.34	96
LMa	50.9	-62.79	34.95	71.87	151
CMa	58.62	-30.35	-45.01	54.3	236
VMa	25.71	31.11	-44.42	54.24	305
MMa	48.13	75.27	-8.35	75.73	354
NMa	18.01	0.0	0.0	0.0	0
WMa	95.41	0.0	0.0	0.0	0
RCIE	39.92	58.66	26.98	64.56	25
JCIE	81.26	-2.17	67.76	67.79	92
GCIE	52.23	-42.26	11.75	43.87	164
BCIE	30.57	1.15	-46.84	46.87	271

Dreiecks-Helligkeit  $t^*$

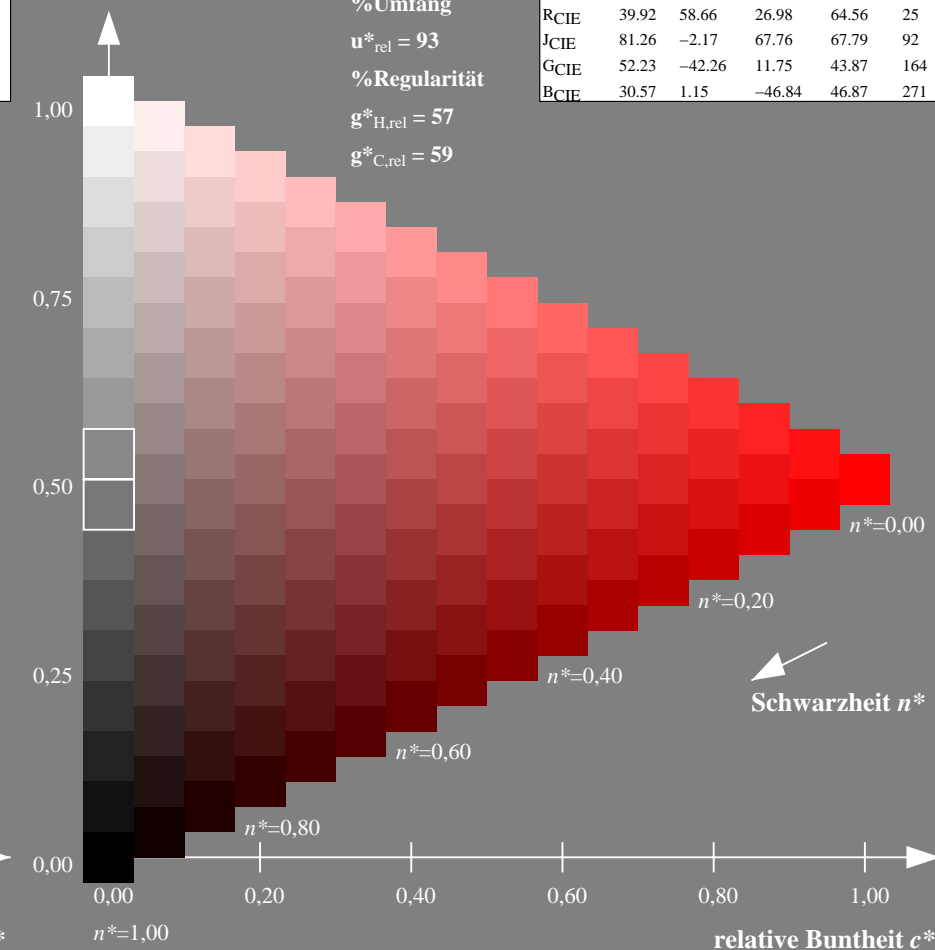
%Umfang

$u_{rel}^* = 93$

%Regularität

$g_{H,rel}^* = 57$

$g_{C,rel}^* = 59$



16stufige Reihen für konstanten CIELAB Buntton 38/360 = 0.105 (rechts)

input:  $olv^* setrgbcolor$   
output: no change compared to input

### Eingabe: Farbmimetrisches Reflexions-System MRS18

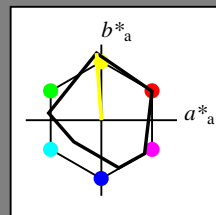
für Buntton  $h^* = lab^*h = 94/360 = 0.261$

$lab^*ch$  und  $lab^*nch$

D65: Buntton J

LCH\*Ma: 91 89 94

rgb\*Ma: 1.0 1.0 0.0



#### MRS18; adaptierte CIELAB-Daten

	$L^*=L_a^*$	$a_a^*$	$b_a^*$	$C_{ab,a}^*$	$h_{ab,a}^*$
RMa	49.63	66.96	38.37	77.18	30
JMa	90.7	-6.36	88.75	88.98	94
GMa	52.11	-69.73	9.44	70.37	172
G50BMa	45.03	-36.57	-28.47	46.36	218
BMa	36.65	23.19	-63.05	67.18	290
B50RMa	34.94	57.17	-44.26	72.31	322
NMa	18.01	0.0	0.0	0.0	0
WMa	95.41	0.0	0.0	0.0	0
RCIE	39.92	58.66	26.98	64.56	25
JCIE	81.26	-2.17	67.76	67.79	92
GCIE	52.23	-42.26	11.75	43.87	164
BCIE	30.57	1.15	-46.84	46.87	271

Dreiecks-Helligkeit  $t^*$

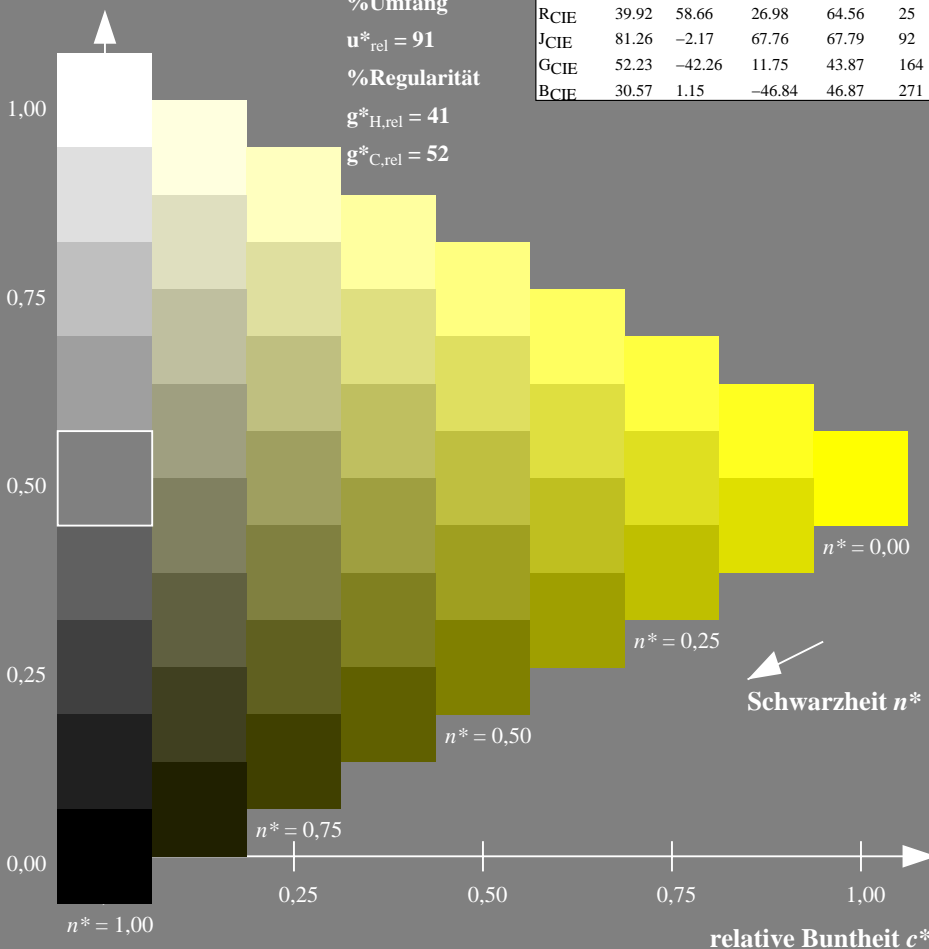
%Umfang

$u_{rel}^* = 91$

%Regularität

$g_{H,rel}^* = 41$

$g_{C,rel}^* = 52$



TG950-7, 9stufige Reihen für konstanten CIELAB Buntton 94/360 = 0.261 (links)

BAM-Prüfvorlage TG95; Farbmimetrik-Systeme MRS18 & ORS18  
D65: 9 und 16stufige Farbreihen für 10 Bunttöne

### Ausgabe: Farbmimetrisches Reflexions-System ORS18

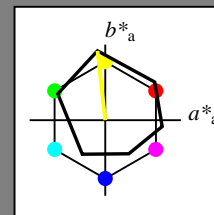
für Buntton  $h^* = lab^*h = 96/360 = 0.268$

$lab^*ch$  und  $lab^*nch$

D65: Buntton Y

LCH\*Ma: 90 92 96

rgb\*Ma: 1.0 1.0 0.0



#### ORS18; adaptierte CIELAB-Daten

	$L^*=L_a^*$	$a_a^*$	$b_a^*$	$C_{ab,a}^*$	$h_{ab,a}^*$
OMa	47.94	65.37	50.52	82.62	38
YMa	90.37	-10.27	91.77	92.34	96
LMa	50.9	-62.79	34.95	71.87	151
CMa	58.62	-30.35	-45.01	54.3	236
VMa	25.71	31.11	-44.42	54.24	305
MMa	48.13	75.27	-8.35	75.73	354
NMa	18.01	0.0	0.0	0.0	0
WMa	95.41	0.0	0.0	0.0	0
RCIE	39.92	58.66	26.98	64.56	25
JCIE	81.26	-2.17	67.76	67.79	92
GCIE	52.23	-42.26	11.75	43.87	164
BCIE	30.57	1.15	-46.84	46.87	271

Dreiecks-Helligkeit  $t^*$

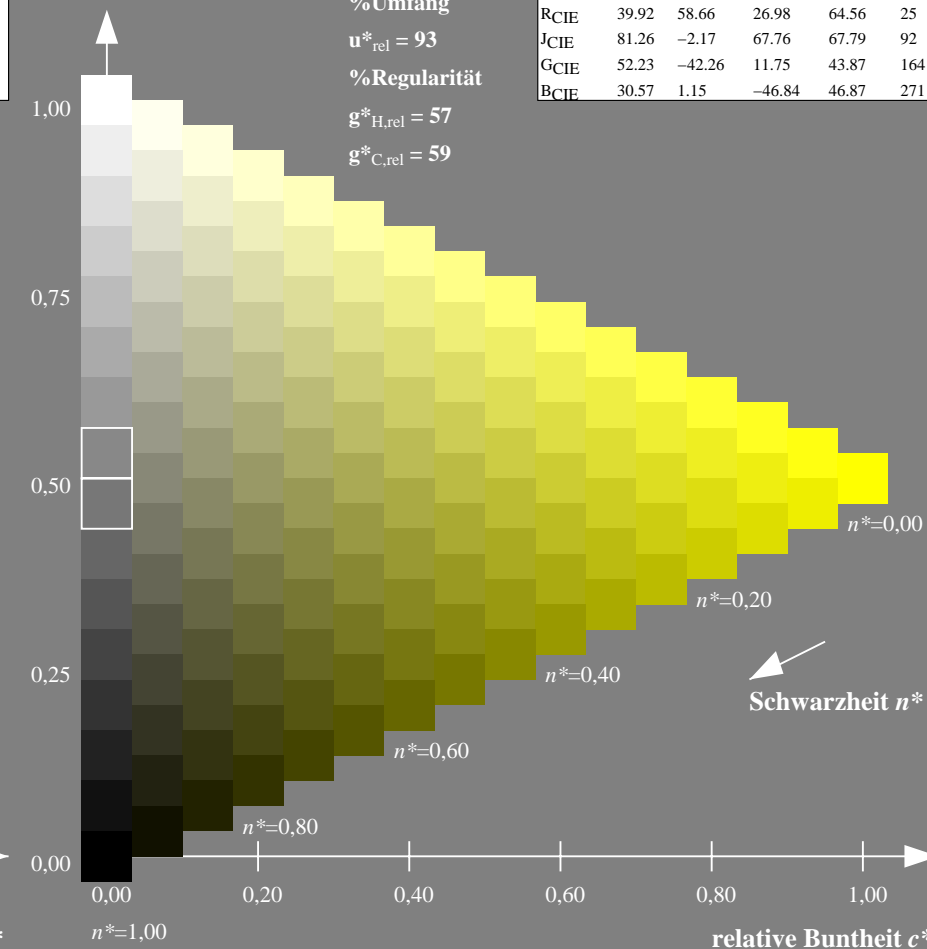
%Umfang

$u_{rel}^* = 93$

%Regularität

$g_{H,rel}^* = 57$

$g_{C,rel}^* = 59$



16stufige Reihen für konstanten CIELAB Buntton 96/360 = 0.268 (rechts)

input:  $olv^* setrgbcolor$   
output: no change compared to input

### Eingabe: Farbmimetrisches Reflexions-System MRS18

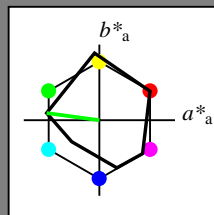
für Buntton  $h^* = lab^*h = 172/360 = 0.479$

$lab^*ch$  und  $lab^*nch$

D65: Buntton G

LCH\*Ma: 52 70 172

rgb\*Ma: 0.0 1.0 0.0



#### MRS18; adaptierte CIELAB-Daten

	$L^*=L^*_a$	$a^*_a$	$b^*_a$	$C^*_{ab,a}$	$h^*_{ab,a}$
RMa	49.63	66.96	38.37	77.18	30
JMa	90.7	-6.36	88.75	88.98	94
GMa	52.11	-69.73	9.44	70.37	172
G50BMa	45.03	-36.57	-28.47	46.36	218
BMa	36.65	23.19	-63.05	67.18	290
B50RMa	34.94	57.17	-44.26	72.31	322
NMa	18.01	0.0	0.0	0.0	0
WMa	95.41	0.0	0.0	0.0	0
RCIE	39.92	58.66	26.98	64.56	25
JCIE	81.26	-2.17	67.76	67.79	92
GCIE	52.23	-42.26	11.75	43.87	164
BCIE	30.57	1.15	-46.84	46.87	271

Dreiecks-Helligkeit  $t^*$

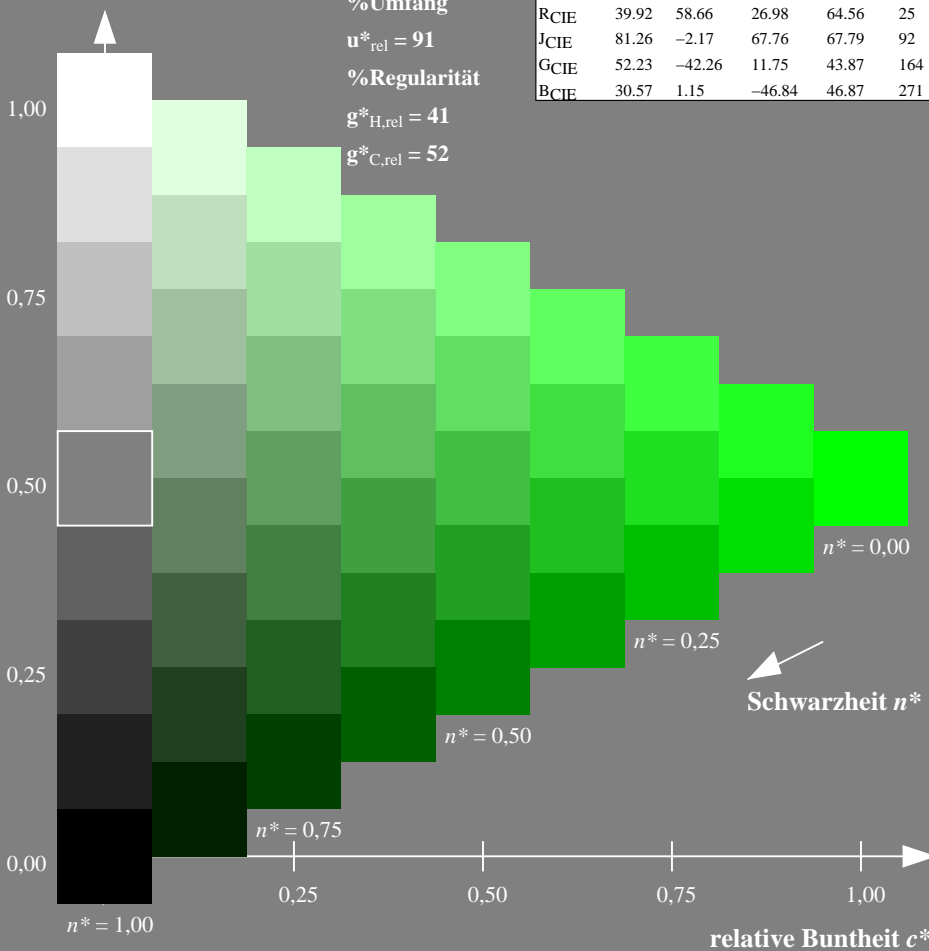
%Umfang

$u^*_{rel} = 91$

%Regularität

$g^*_{H,rel} = 41$

$g^*_{C,rel} = 52$



### Ausgabe: Farbmimetrisches Reflexions-System ORS18

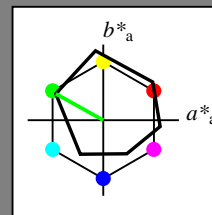
für Buntton  $h^* = lab^*h = 151/360 = 0.419$

$lab^*ch$  und  $lab^*nch$

D65: Buntton L

LCH\*Ma: 51 72 151

rgb\*Ma: 0.0 1.0 0.0



#### ORS18; adaptierte CIELAB-Daten

	$L^*=L^*_a$	$a^*_a$	$b^*_a$	$C^*_{ab,a}$	$h^*_{ab,a}$
OMa	47.94	65.37	50.52	82.62	38
YMa	90.37	-10.27	91.77	92.34	96
LMa	50.9	-62.79	34.95	71.87	151
CMa	58.62	-30.35	-45.01	54.3	236
VMa	25.71	31.11	-44.42	54.24	305
MMa	48.13	75.27	-8.35	75.73	354
NMa	18.01	0.0	0.0	0.0	0
WMa	95.41	0.0	0.0	0.0	0
RCIE	39.92	58.66	26.98	64.56	25
JCIE	81.26	-2.17	67.76	67.79	92
GCIE	52.23	-42.26	11.75	43.87	164
BCIE	30.57	1.15	-46.84	46.87	271

Dreiecks-Helligkeit  $t^*$

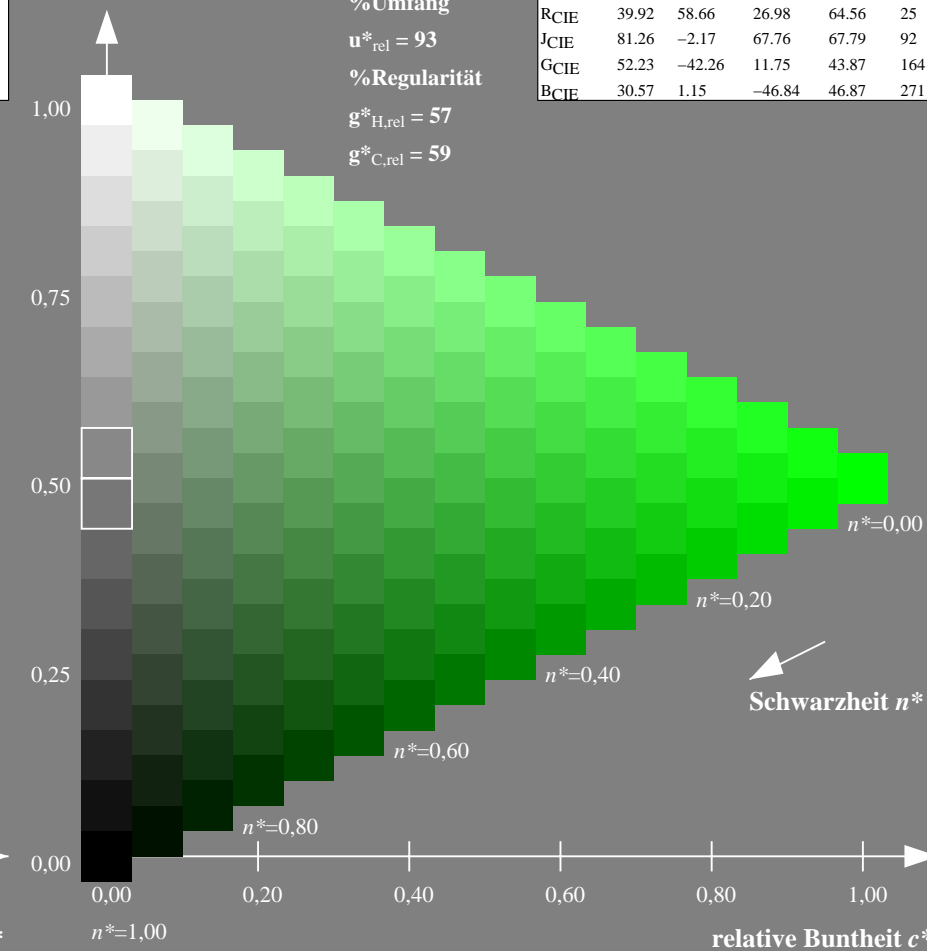
%Umfang

$u^*_{rel} = 93$

%Regularität

$g^*_{H,rel} = 57$

$g^*_{C,rel} = 59$



TG950-7, 9stufige Reihen für konstanten CIELAB Buntton 172/360 = 0.479 (links)

16stufige Reihen für konstanten CIELAB Buntton 151/360 = 0.419 (rechts)

BAM-Prüfvorlage TG95; Farbmimetrik-Systeme MRS18 & ORS18input:  $olv^*setrgbcolor$

D65: 9 und 16stufige Farbreihen für 10 Bunttöne

output: no change compared to input

### Eingabe: Farbmimetrisches Reflexions-System MRS18

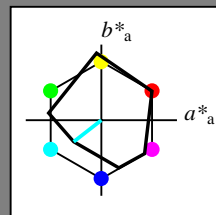
für Buntton  $h^* = lab^*h = 218/360 = 0.605$

$lab^*ch$  und  $lab^*nch$

D65: Buntton G50B

LCH\*Ma: 45 46 218

rgb\*Ma: 0.0 1.0 1.0



#### MRS18; adaptierte CIELAB-Daten

	$L^*=L_a^*$	$a_a^*$	$b_a^*$	$C_{ab,a}^*$	$h_{ab,a}^*$
RMa	49.63	66.96	38.37	77.18	30
JMa	90.7	-6.36	88.75	88.98	94
GMa	52.11	-69.73	9.44	70.37	172
G50B <sub>Ma</sub>	45.03	-36.57	-28.47	46.36	218
B <sub>Ma</sub>	36.65	23.19	-63.05	67.18	290
B50R <sub>Ma</sub>	34.94	57.17	-44.26	72.31	322
N <sub>Ma</sub>	18.01	0.0	0.0	0.0	0
W <sub>Ma</sub>	95.41	0.0	0.0	0.0	0
R <sub>CIE</sub>	39.92	58.66	26.98	64.56	25
J <sub>CIE</sub>	81.26	-2.17	67.76	67.79	92
G <sub>CIE</sub>	52.23	-42.26	11.75	43.87	164
B <sub>CIE</sub>	30.57	1.15	-46.84	46.87	271

Dreiecks-Helligkeit  $t^*$

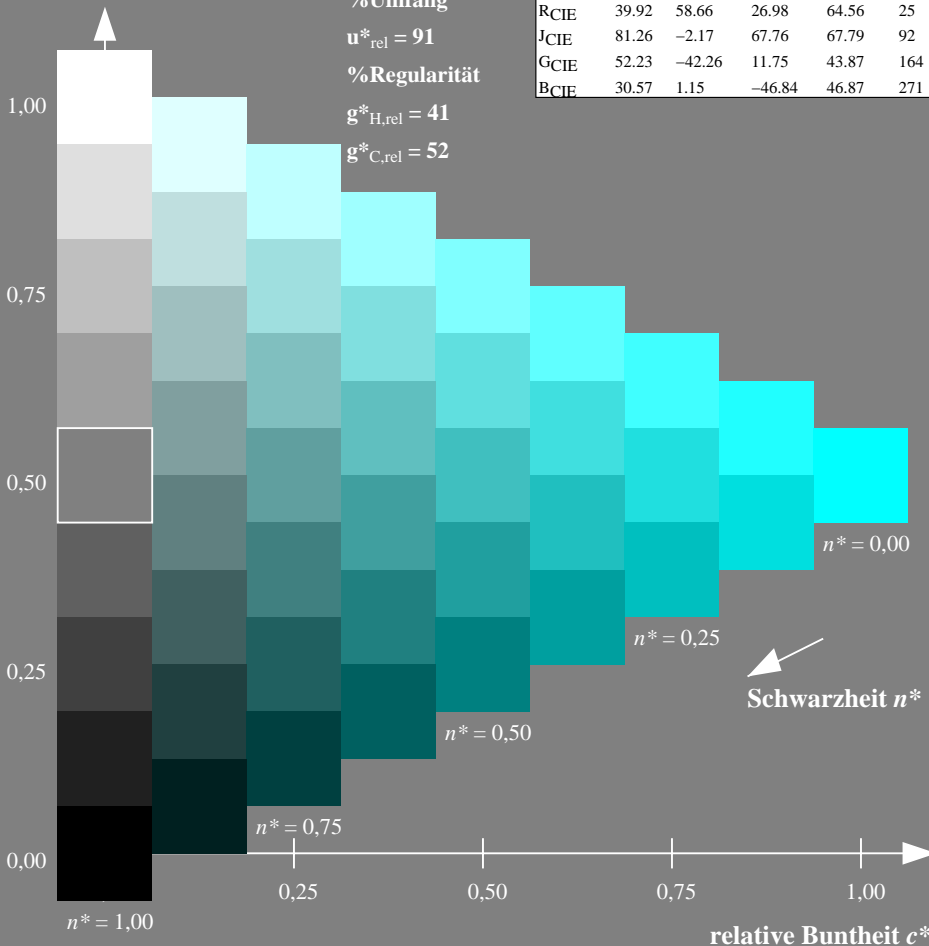
%Umfang

$u_{rel}^* = 91$

%Regularität

$g_{H,rel}^* = 41$

$g_{C,rel}^* = 52$



### Ausgabe: Farbmimetrisches Reflexions-System ORS18

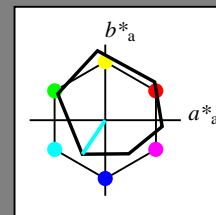
für Buntton  $h^* = lab^*h = 236/360 = 0.656$

$lab^*ch$  und  $lab^*nch$

D65: Buntton C

LCH\*Ma: 59 54 236

rgb\*Ma: 0.0 1.0 1.0



#### ORS18; adaptierte CIELAB-Daten

	$L^*=L_a^*$	$a_a^*$	$b_a^*$	$C_{ab,a}^*$	$h_{ab,a}^*$
OMa	47.94	65.37	50.52	82.62	38
YMa	90.37	-10.27	91.77	92.34	96
LMa	50.9	-62.79	34.95	71.87	151
CMa	58.62	-30.35	-45.01	54.3	236
V <sub>Ma</sub>	25.71	31.11	-44.42	54.24	305
M <sub>Ma</sub>	48.13	75.27	-8.35	75.73	354
N <sub>Ma</sub>	18.01	0.0	0.0	0.0	0
W <sub>Ma</sub>	95.41	0.0	0.0	0.0	0
R <sub>CIE</sub>	39.92	58.66	26.98	64.56	25
J <sub>CIE</sub>	81.26	-2.17	67.76	67.79	92
G <sub>CIE</sub>	52.23	-42.26	11.75	43.87	164
B <sub>CIE</sub>	30.57	1.15	-46.84	46.87	271

Dreiecks-Helligkeit  $t^*$

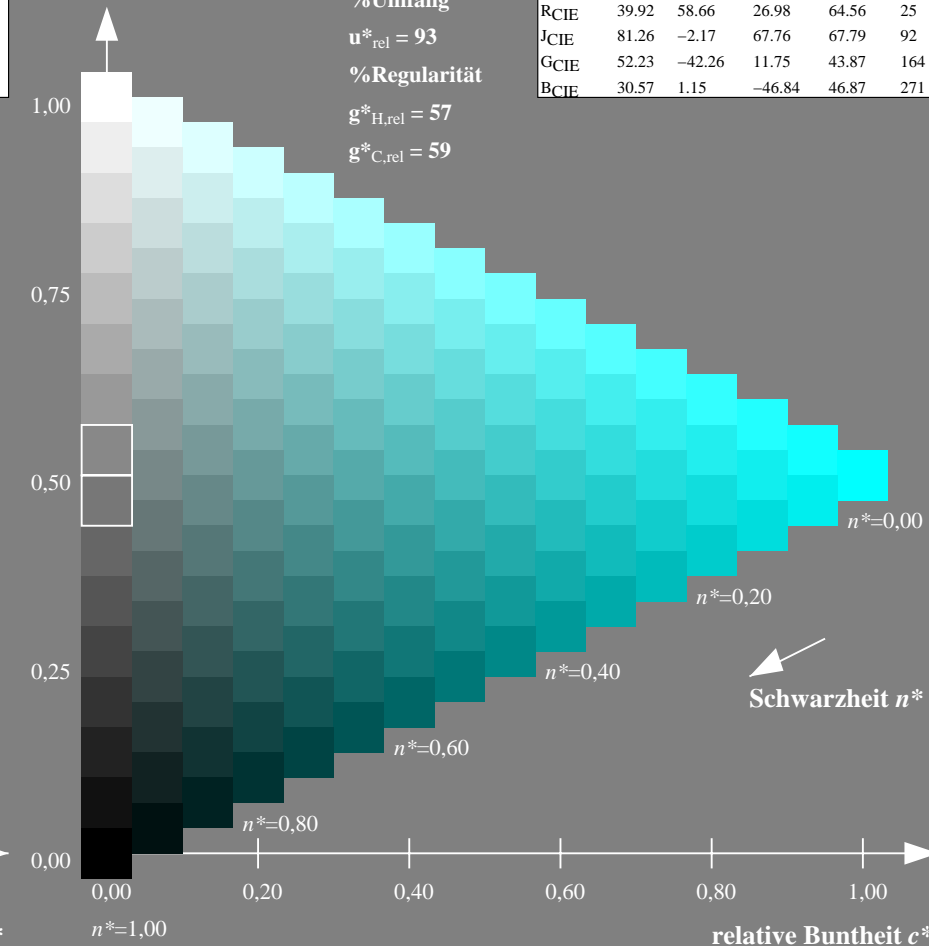
%Umfang

$u_{rel}^* = 93$

%Regularität

$g_{H,rel}^* = 57$

$g_{C,rel}^* = 59$



TG950-7, 9stufige Reihen für konstanten CIELAB Buntton 218/360 = 0.605 (links)

16stufige Reihen für konstanten CIELAB Buntton 236/360 = 0.656 (rechts)

BAM-Prüfvorlage TG95; Farbmimetrik-Systeme MRS18 & ORS18input:  $olv^* setrgbcolor$

D65: 9 und 16stufige Farbreihen für 10 Bunttöne

output: no change compared to input

### Eingabe: Farbmimetrisches Reflexions-System MRS18

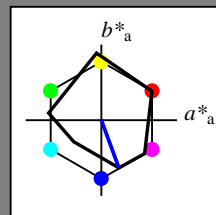
für Buntton  $h^* = lab^*h = 290/360 = 0.806$

$lab^*tch$  und  $lab^*nch$

D65: Buntton B

LCH\*Ma: 37 67 290

rgb\*Ma: 0.0 0.0 1.0



MRS18; adaptierte CIELAB-Daten					
	$L^*=L^*_a$	$a^*_a$	$b^*_a$	$C^*_{ab,a}$	$h^*_{ab,a}$
RMa	49.63	66.96	38.37	77.18	30
JMa	90.7	-6.36	88.75	88.98	94
GMa	52.11	-69.73	9.44	70.37	172
G50B <sub>Ma</sub>	45.03	-36.57	-28.47	46.36	218
B <sub>Ma</sub>	36.65	23.19	-63.05	67.18	290
B50R <sub>Ma</sub>	34.94	57.17	-44.26	72.31	322
N <sub>Ma</sub>	18.01	0.0	0.0	0.0	0
W <sub>Ma</sub>	95.41	0.0	0.0	0.0	0
R <sub>CIE</sub>	39.92	58.66	26.98	64.56	25
J <sub>CIE</sub>	81.26	-2.17	67.76	67.79	92
G <sub>CIE</sub>	52.23	-42.26	11.75	43.87	164
B <sub>CIE</sub>	30.57	1.15	-46.84	46.87	271

Dreiecks-Helligkeit  $t^*$

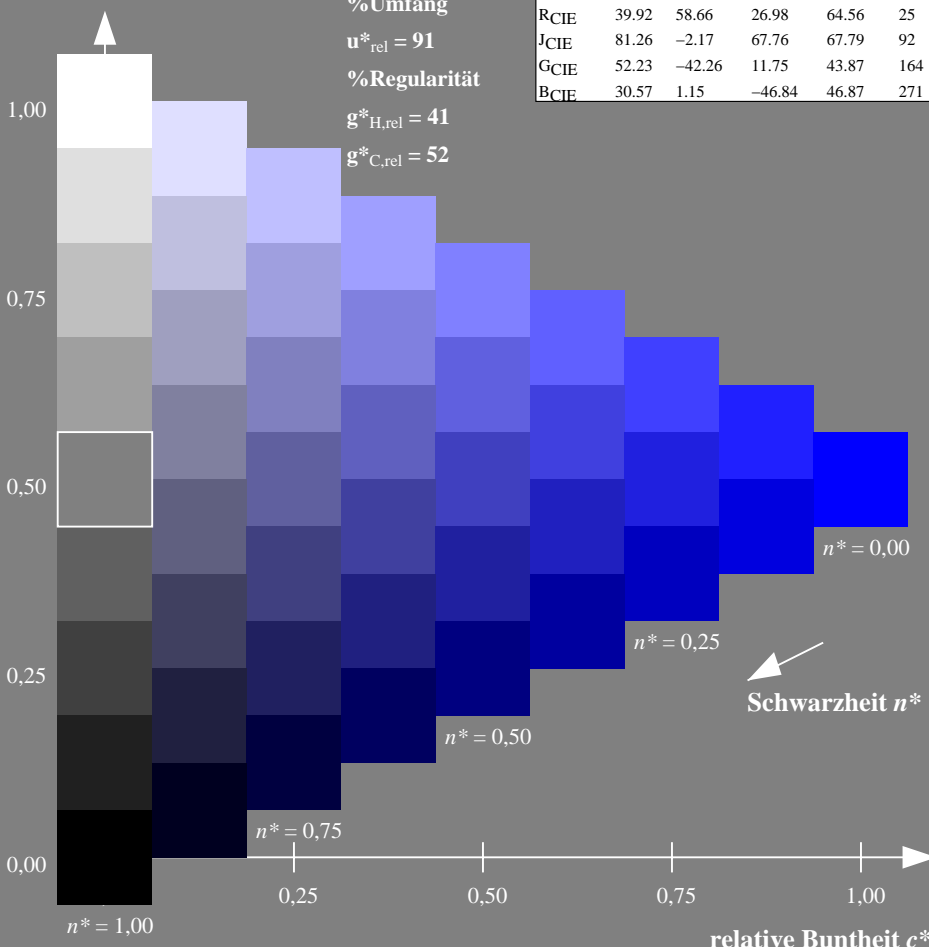
%Umfang

$u^*_{rel} = 91$

%Regularität

$g^*_{H,rel} = 41$

$g^*_{C,rel} = 52$



### Ausgabe: Farbmimetrisches Reflexions-System ORS18

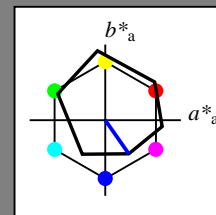
für Buntton  $h^* = lab^*h = 305/360 = 0.847$

$lab^*tch$  und  $lab^*nch$

D65: Buntton V

LCH\*Ma: 26 54 305

rgb\*Ma: 0.0 0.0 1.0



ORS18; adaptierte CIELAB-Daten					
	$L^*=L^*_a$	$a^*_a$	$b^*_a$	$C^*_{ab,a}$	$h^*_{ab,a}$
OMa	47.94	65.37	50.52	82.62	38
YMa	90.37	-10.27	91.77	92.34	96
LMa	50.9	-62.79	34.95	71.87	151
CMa	58.62	-30.35	-45.01	54.3	236
V <sub>Ma</sub>	25.71	31.11	-44.42	54.24	305
M <sub>Ma</sub>	48.13	75.27	-8.35	75.73	354
N <sub>Ma</sub>	18.01	0.0	0.0	0.0	0
W <sub>Ma</sub>	95.41	0.0	0.0	0.0	0
R <sub>CIE</sub>	39.92	58.66	26.98	64.56	25
J <sub>CIE</sub>	81.26	-2.17	67.76	67.79	92
G <sub>CIE</sub>	52.23	-42.26	11.75	43.87	164
B <sub>CIE</sub>	30.57	1.15	-46.84	46.87	271

Dreiecks-Helligkeit  $t^*$

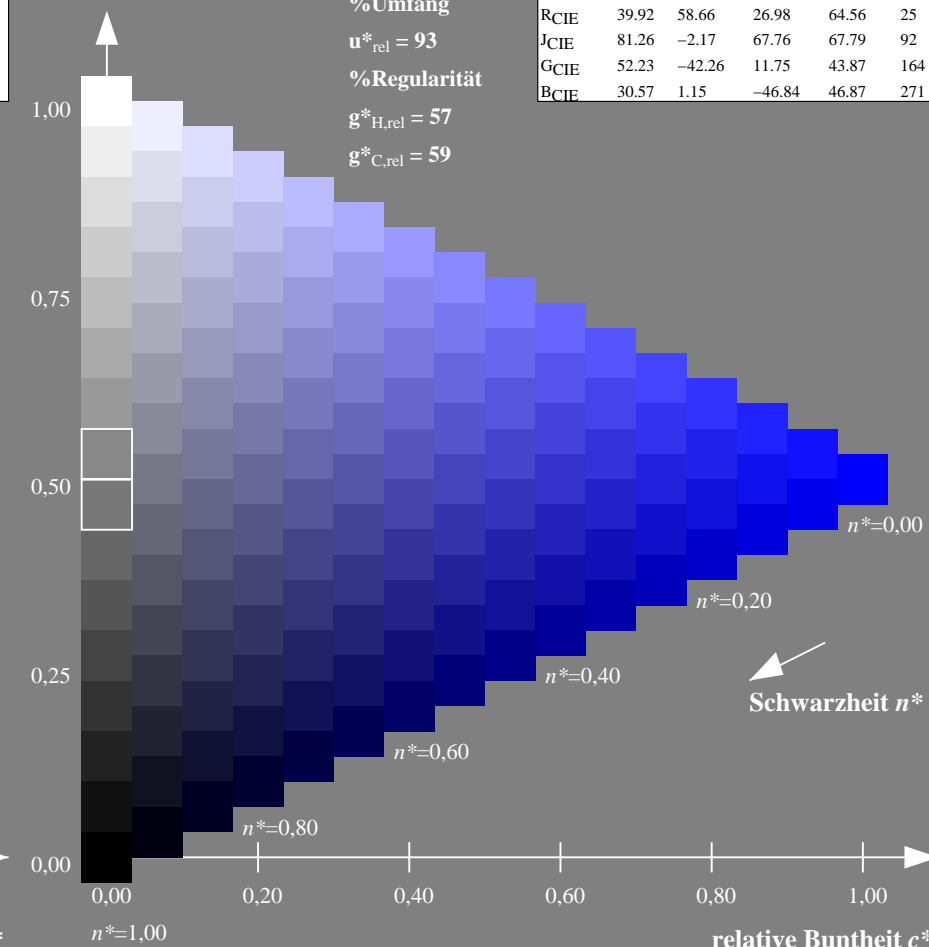
%Umfang

$u^*_{rel} = 93$

%Regularität

$g^*_{H,rel} = 57$

$g^*_{C,rel} = 59$



TG950-7, 9stufige Reihen für konstanten CIELAB Buntton 290/360 = 0.806 (links)

16stufige Reihen für konstanten CIELAB Buntton 305/360 = 0.847 (rechts)

BAM-Prüfvorlage TG95; Farbmimetrik-Systeme MRS18 & ORS18input:  $olv^* setrgbcolor$

D65: 9 und 16stufige Farbreihen für 10 Bunttöne

output: no change compared to input

### Eingabe: Farbmimetrisches Reflexions-System MRS18

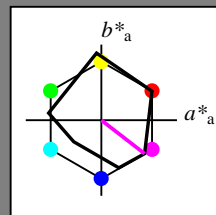
für Buntton  $h^* = lab^*h = 322/360 = 0.895$

$lab^*ch$  und  $lab^*nch$

D65: Buntton B50R

LCH\*Ma: 35 72 322

rgb\*Ma: 1.0 0.0 1.0



MRS18; adaptierte CIELAB-Daten					
	$L^*=L^*_a$	$a^*_a$	$b^*_a$	$C^*_{ab,a}$	$h^*_{ab,a}$
RMa	49.63	66.96	38.37	77.18	30
JMa	90.7	-6.36	88.75	88.98	94
GMa	52.11	-69.73	9.44	70.37	172
G50B <sub>Ma</sub>	45.03	-36.57	-28.47	46.36	218
B <sub>Ma</sub>	36.65	23.19	-63.05	67.18	290
B50R <sub>Ma</sub>	34.94	57.17	-44.26	72.31	322
N <sub>Ma</sub>	18.01	0.0	0.0	0.0	0
W <sub>Ma</sub>	95.41	0.0	0.0	0.0	0
R <sub>CIE</sub>	39.92	58.66	26.98	64.56	25
J <sub>CIE</sub>	81.26	-2.17	67.76	67.79	92
G <sub>CIE</sub>	52.23	-42.26	11.75	43.87	164
B <sub>CIE</sub>	30.57	1.15	-46.84	46.87	271

Dreiecks-Helligkeit  $t^*$

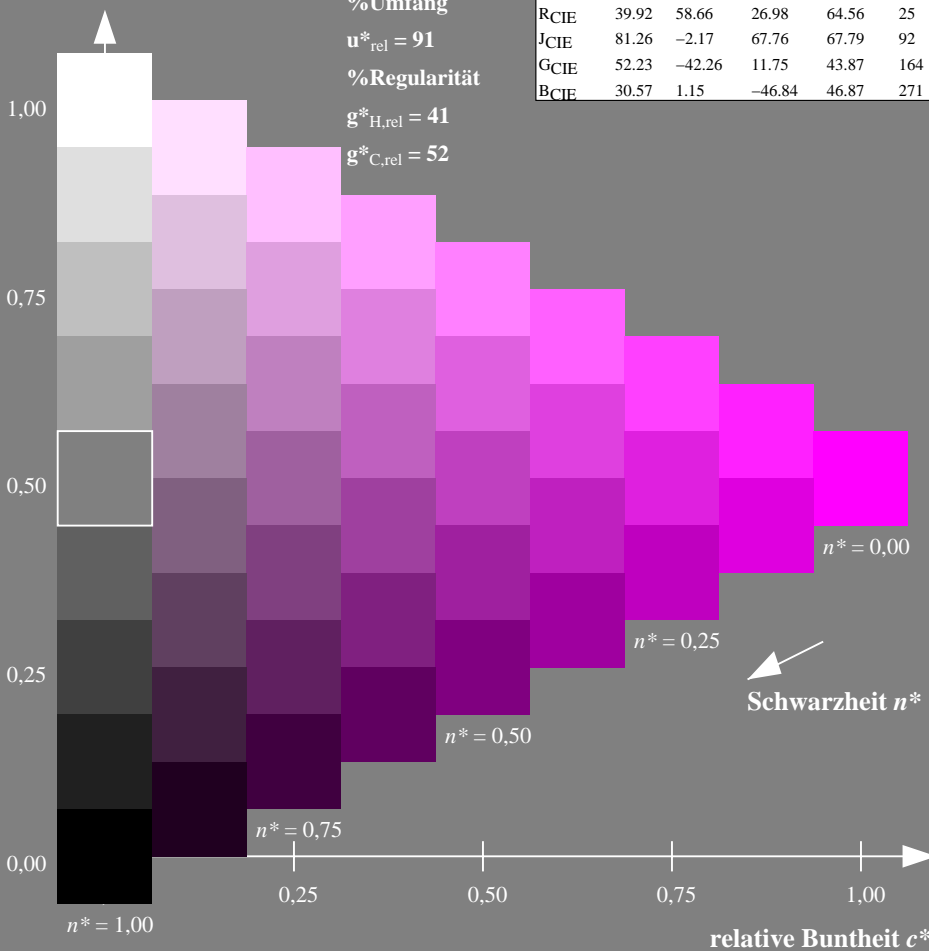
%Umfang

$u^*_{rel} = 91$

%Regularität

$g^*_{H,rel} = 41$

$g^*_{C,rel} = 52$



### Ausgabe: Farbmimetrisches Reflexions-System ORS18

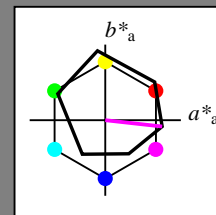
für Buntton  $h^* = lab^*h = 354/360 = 0.982$

$lab^*ch$  und  $lab^*nch$

D65: Buntton M

LCH\*Ma: 48 76 354

rgb\*Ma: 1.0 0.0 1.0



ORS18; adaptierte CIELAB-Daten					
	$L^*=L^*_a$	$a^*_a$	$b^*_a$	$C^*_{ab,a}$	$h^*_{ab,a}$
OMa	47.94	65.37	50.52	82.62	38
YMa	90.37	-10.27	91.77	92.34	96
LMa	50.9	-62.79	34.95	71.87	151
CMa	58.62	-30.35	-45.01	54.3	236
V <sub>Ma</sub>	25.71	31.11	-44.42	54.24	305
M <sub>Ma</sub>	48.13	75.27	-8.35	75.73	354
N <sub>Ma</sub>	18.01	0.0	0.0	0.0	0
W <sub>Ma</sub>	95.41	0.0	0.0	0.0	0
R <sub>CIE</sub>	39.92	58.66	26.98	64.56	25
J <sub>CIE</sub>	81.26	-2.17	67.76	67.79	92
G <sub>CIE</sub>	52.23	-42.26	11.75	43.87	164
B <sub>CIE</sub>	30.57	1.15	-46.84	46.87	271

Dreiecks-Helligkeit  $t^*$

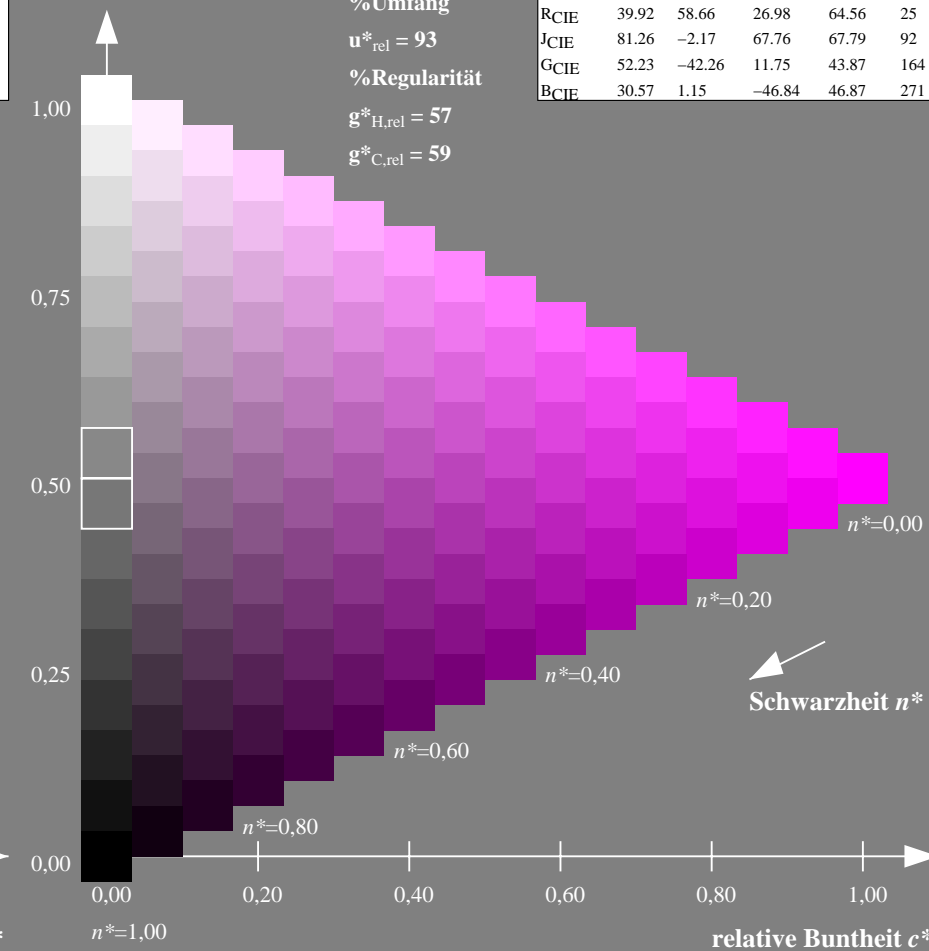
%Umfang

$u^*_{rel} = 93$

%Regularität

$g^*_{H,rel} = 57$

$g^*_{C,rel} = 59$



TG950-7, 9stufige Reihen für konstanten CIELAB Buntton 322/360 = 0.895 (links)

16stufige Reihen für konstanten CIELAB Buntton 354/360 = 0.982 (rechts)

BAM-Prüfvorlage TG95; Farbmimetrische Systeme MRS18 & ORS18input:  $olv^*setrgbcolor$   
D65: 9 und 16stufige Farbreihen für 10 Bunttöne

output: no change compared to input

### Eingabe: Farbmétrisches Reflexions-System MRS18

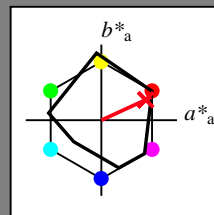
für Buntton  $h^* = lab^*h = 25/360 = 0.069$

$lab^*tch$  und  $lab^*nch$

D65: Buntton R

LCH\*Ma: 48 73 25

rgb\*Ma: 1.0 0.0 0.1



MRS18; adaptierte CIELAB-Daten					
	$L^*=L_a^*$	$a_a^*$	$b_a^*$	$C_{ab,a}^*$	$h_{ab,a}^*$
RMa	49.63	66.96	38.37	77.18	30
JMa	90.7	-6.36	88.75	88.98	94
GMa	52.11	-69.73	9.44	70.37	172
G50BMa	45.03	-36.57	-28.47	46.36	218
BMa	36.65	23.19	-63.05	67.18	290
B50RMa	34.94	57.17	-44.26	72.31	322
NMa	18.01	0.0	0.0	0.0	0
WMa	95.41	0.0	0.0	0.0	0
RCIE	39.92	58.66	26.98	64.56	25
JCIE	81.26	-2.17	67.76	67.79	92
GCIE	52.23	-42.26	11.75	43.87	164
BCIE	30.57	1.15	-46.84	46.87	271

Dreiecks-Helligkeit  $t^*$

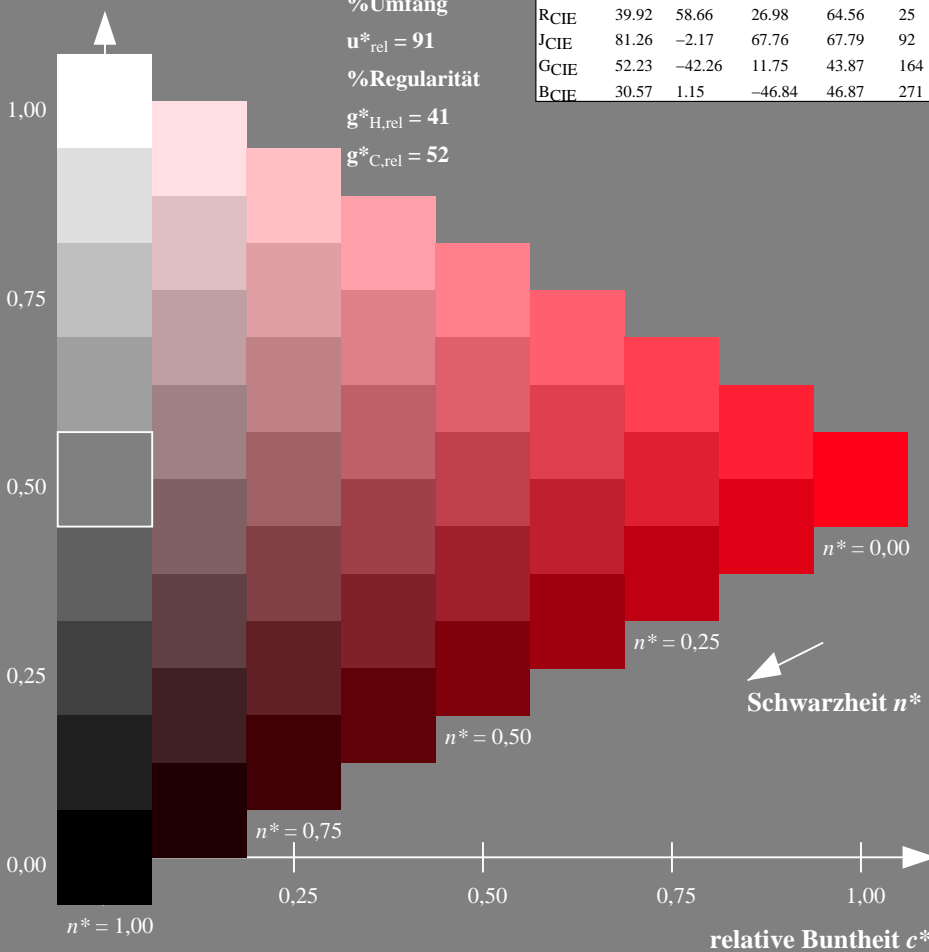
%Umfang

$u_{rel}^* = 91$

%Regularität

$g_{H,rel}^* = 41$

$g_{C,rel}^* = 52$



### Ausgabe: Farbmétrisches Reflexions-System ORS18

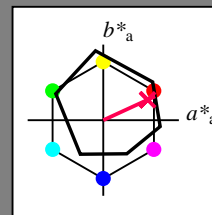
für Buntton  $h^* = lab^*h = 25/360 = 0.069$

$lab^*tch$  und  $lab^*nch$

D65: Buntton R

LCH\*Ma: 48 75 25

rgb\*Ma: 1.0 0.0 0.32



ORS18; adaptierte CIELAB-Daten					
	$L^*=L_a^*$	$a_a^*$	$b_a^*$	$C_{ab,a}^*$	$h_{ab,a}^*$
OMa	47.94	65.37	50.52	82.62	38
YMa	90.37	-10.27	91.77	92.34	96
LMa	50.9	-62.79	34.95	71.87	151
CMa	58.62	-30.35	-45.01	54.3	236
VMa	25.71	31.11	-44.42	54.24	305
MMa	48.13	75.27	-8.35	75.73	354
NMa	18.01	0.0	0.0	0.0	0
WMa	95.41	0.0	0.0	0.0	0
RCIE	39.92	58.66	26.98	64.56	25
JCIE	81.26	-2.17	67.76	67.79	92
GCIE	52.23	-42.26	11.75	43.87	164
BCIE	30.57	1.15	-46.84	46.87	271

Dreiecks-Helligkeit  $t^*$

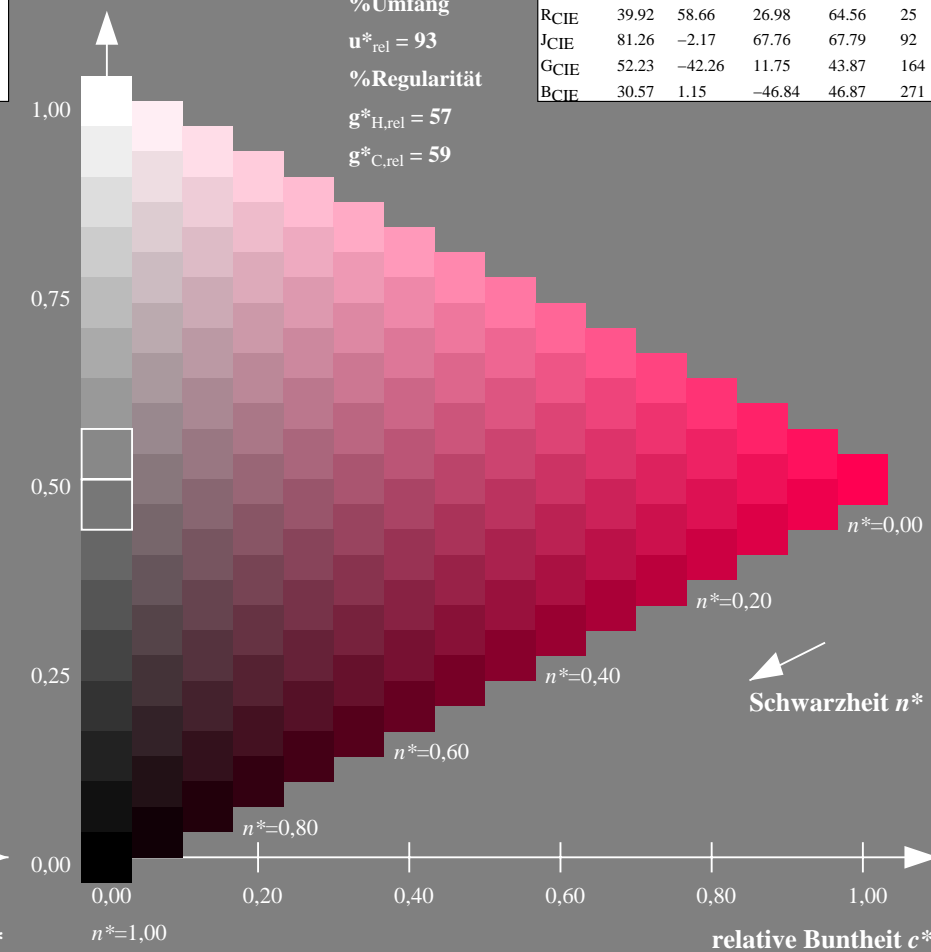
%Umfang

$u_{rel}^* = 93$

%Regularität

$g_{H,rel}^* = 57$

$g_{C,rel}^* = 59$



TG950-7, 9stufige Reihen für konstanten CIELAB Buntton 25/360 = 0.069 (links)

16stufige Reihen für konstanten CIELAB Buntton 25/360 = 0.069 (rechts)

BAM-Prüfvorlage TG95; Farbmétrik-Systeme MRS18 & ORS18input:  $olv^* setrgbcolor$

D65: 9 und 16stufige Farbreihen für 10 Bunttöne

output: no change compared to input



### Eingabe: Farbmimetrisches Reflexions-System MRS18

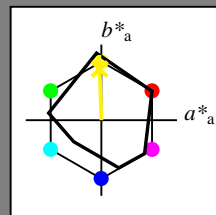
für Buntton  $h^* = lab^*h = 92/360 = 0.255$

$lab^*tch$  und  $lab^*nch$

D65: Buntton J

LCH\*Ma: 89 86 92

rgb\*Ma: 1.0 0.95 0.0



MRS18; adaptierte CIELAB-Daten					
	$L^*=L^*_a$	$a^*_a$	$b^*_a$	$C^*_{ab,a}$	$h^*_{ab,a}$
RMa	49.63	66.96	38.37	77.18	30
JMa	90.7	-6.36	88.75	88.98	94
GMa	52.11	-69.73	9.44	70.37	172
G50BMa	45.03	-36.57	-28.47	46.36	218
BMa	36.65	23.19	-63.05	67.18	290
B50RMa	34.94	57.17	-44.26	72.31	322
NMa	18.01	0.0	0.0	0.0	0
WMa	95.41	0.0	0.0	0.0	0
RCIE	39.92	58.66	26.98	64.56	25
JCIE	81.26	-2.17	67.76	67.79	92
GCIE	52.23	-42.26	11.75	43.87	164
BCIE	30.57	1.15	-46.84	46.87	271

Dreiecks-Helligkeit  $t^*$

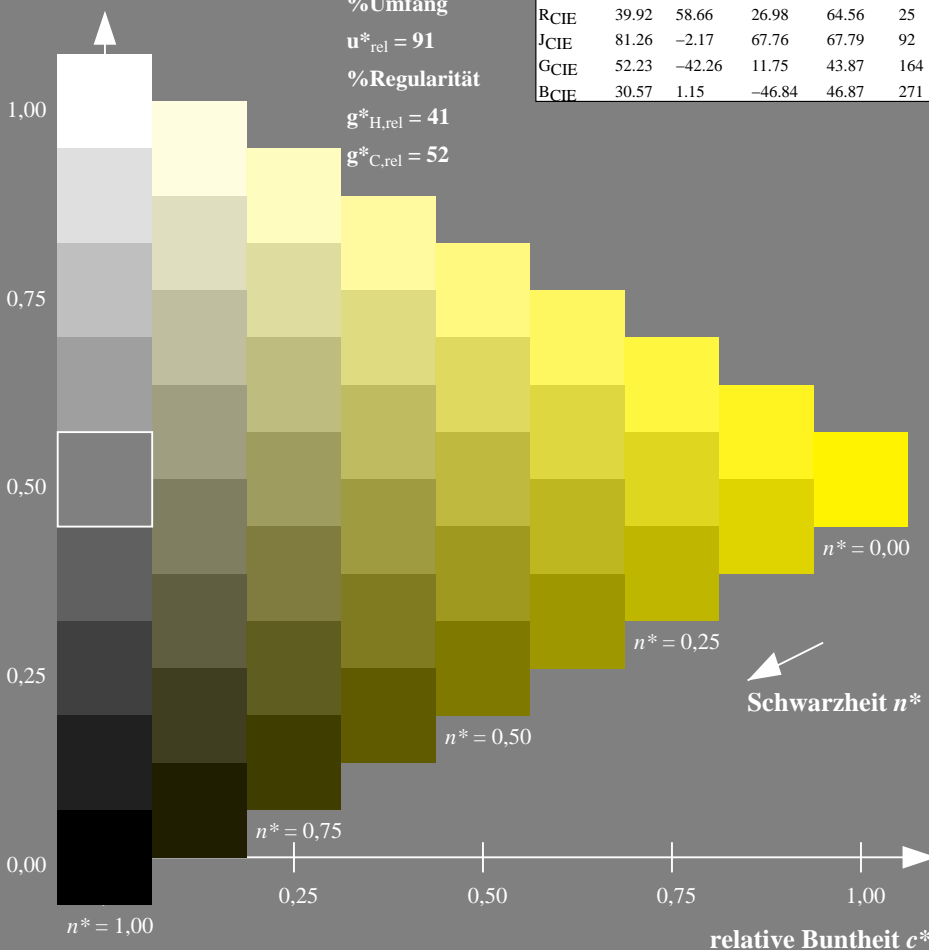
%Umfang

$u^*_{rel} = 91$

%Regularität

$g^*_{H,rel} = 41$

$g^*_{C,rel} = 52$



### Ausgabe: Farbmimetrisches Reflexions-System ORS18

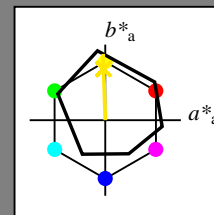
für Buntton  $h^* = lab^*h = 92/360 = 0.255$

$lab^*tch$  und  $lab^*nch$

D65: Buntton J

LCH\*Ma: 86 88 92

rgb\*Ma: 1.0 0.9 0.0



ORS18; adaptierte CIELAB-Daten					
	$L^*=L^*_a$	$a^*_a$	$b^*_a$	$C^*_{ab,a}$	$h^*_{ab,a}$
OMa	47.94	65.37	50.52	82.62	38
YMa	90.37	-10.27	91.77	92.34	96
LMa	50.9	-62.79	34.95	71.87	151
CMa	58.62	-30.35	-45.01	54.3	236
VMa	25.71	31.11	-44.42	54.24	305
MMa	48.13	75.27	-8.35	75.73	354
NMa	18.01	0.0	0.0	0.0	0
WMa	95.41	0.0	0.0	0.0	0
RCIE	39.92	58.66	26.98	64.56	25
JCIE	81.26	-2.17	67.76	67.79	92
GCIE	52.23	-42.26	11.75	43.87	164
BCIE	30.57	1.15	-46.84	46.87	271

Dreiecks-Helligkeit  $t^*$

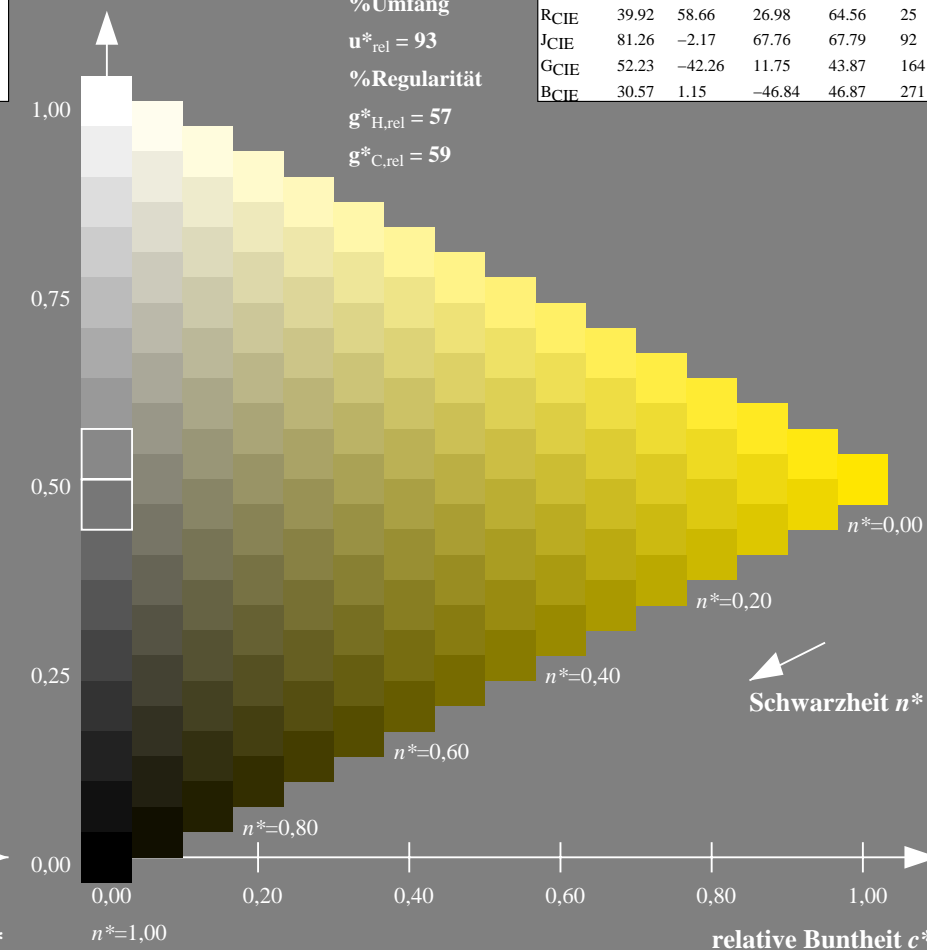
%Umfang

$u^*_{rel} = 93$

%Regularität

$g^*_{H,rel} = 57$

$g^*_{C,rel} = 59$



TG950-7, 9stufige Reihen für konstanten CIELAB Buntton  $92/360 = 0.255$  (links)

16stufige Reihen für konstanten CIELAB Buntton  $92/360 = 0.255$  (rechts)

BAM-Prüfvorlage TG95; Farbmimetrik-Systeme MRS18 & ORS18input:  $olv^*setrgbcolor$

D65: 9 und 16stufige Farbreihen für 10 Bunttöne

output: no change compared to input



### Eingabe: Farbmimetrisches Reflexions-System MRS18

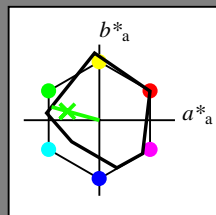
für Buntton  $h^* = lab^*h = 164/360 = 0.457$

$lab^*ch$  und  $lab^*nch$

D65: Buntton G

LCH\*Ma: 56 66 164

rgb\*Ma: 0.1 1.0 0.0



#### MRS18; adaptierte CIELAB-Daten

	$L^*=L^*_a$	$a^*_a$	$b^*_a$	$C^*_{ab,a}$	$h^*_{ab,a}$
RMa	49.63	66.96	38.37	77.18	30
JMa	90.7	-6.36	88.75	88.98	94
GMa	52.11	-69.73	9.44	70.37	172
G50BMa	45.03	-36.57	-28.47	46.36	218
BMa	36.65	23.19	-63.05	67.18	290
B50RMa	34.94	57.17	-44.26	72.31	322
NMa	18.01	0.0	0.0	0.0	0
WMa	95.41	0.0	0.0	0.0	0
RCIE	39.92	58.66	26.98	64.56	25
JCIE	81.26	-2.17	67.76	67.79	92
GCIE	52.23	-42.26	11.75	43.87	164
BCIE	30.57	1.15	-46.84	46.87	271

Dreiecks-Helligkeit  $t^*$

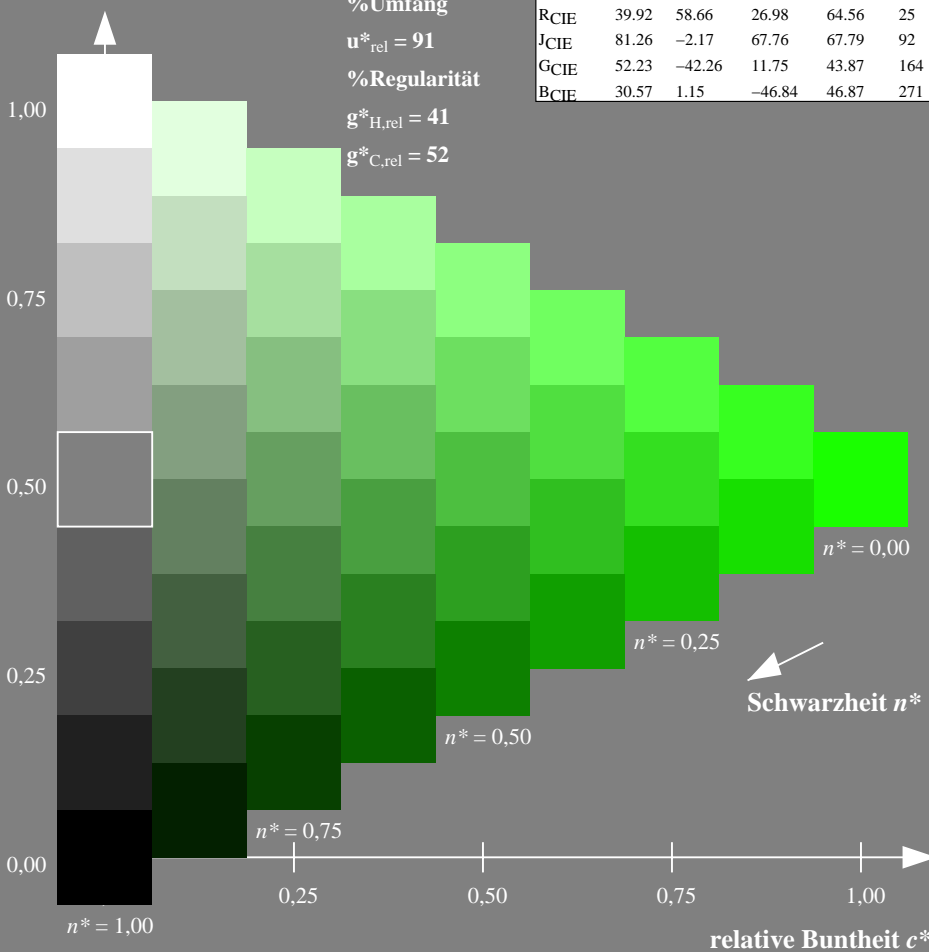
%Umfang

$u^*_{rel} = 91$

%Regularität

$g^*_{H,rel} = 41$

$g^*_{C,rel} = 52$



### Ausgabe: Farbmimetrisches Reflexions-System ORS18

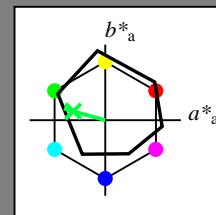
für Buntton  $h^* = lab^*h = 164/360 = 0.457$

$lab^*ch$  und  $lab^*nch$

D65: Buntton G

LCH\*Ma: 53 57 164

rgb\*Ma: 0.0 1.0 0.25



#### ORS18; adaptierte CIELAB-Daten

	$L^*=L^*_a$	$a^*_a$	$b^*_a$	$C^*_{ab,a}$	$h^*_{ab,a}$
OMa	47.94	65.37	50.52	82.62	38
YMa	90.37	-10.27	91.77	92.34	96
LMa	50.9	-62.79	34.95	71.87	151
CMa	58.62	-30.35	-45.01	54.3	236
VMa	25.71	31.11	-44.42	54.24	305
MMa	48.13	75.27	-8.35	75.73	354
NMa	18.01	0.0	0.0	0.0	0
WMa	95.41	0.0	0.0	0.0	0
RCIE	39.92	58.66	26.98	64.56	25
JCIE	81.26	-2.17	67.76	67.79	92
GCIE	52.23	-42.26	11.75	43.87	164
BCIE	30.57	1.15	-46.84	46.87	271

Dreiecks-Helligkeit  $t^*$

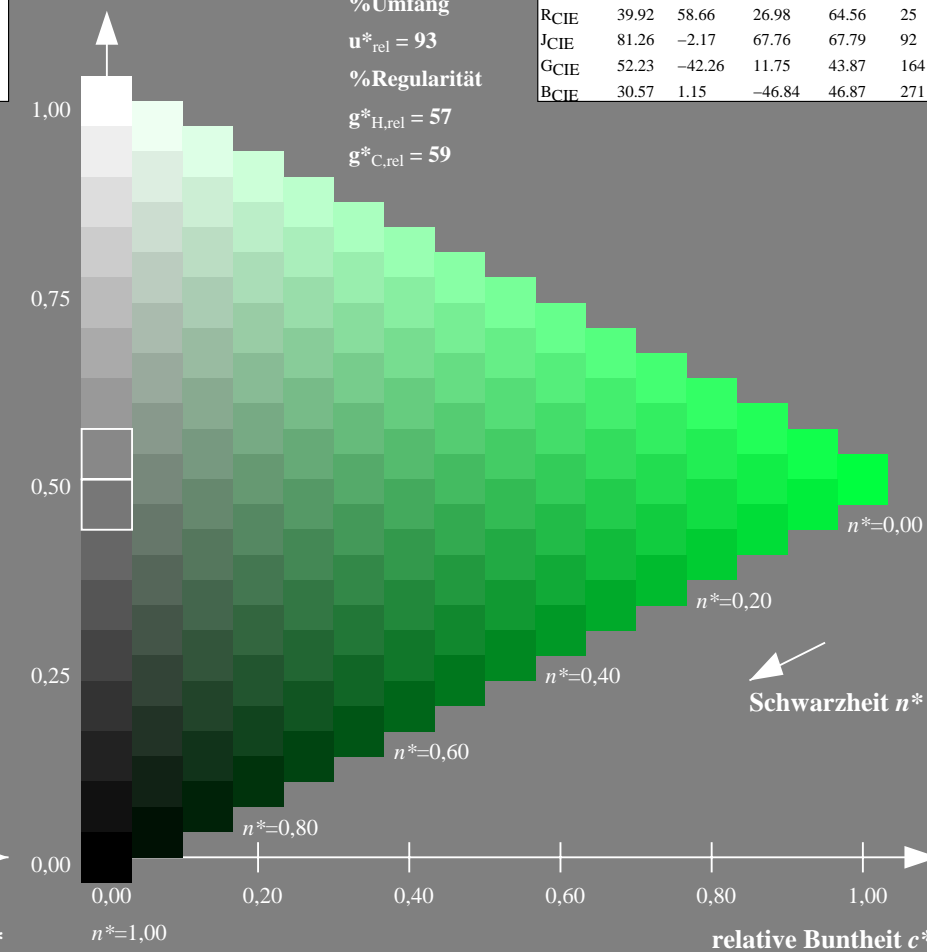
%Umfang

$u^*_{rel} = 93$

%Regularität

$g^*_{H,rel} = 57$

$g^*_{C,rel} = 59$



TG950-7, 9stufige Reihen für konstanten CIELAB Buntton 164/360 = 0.457 (links)

16stufige Reihen für konstanten CIELAB Buntton 164/360 = 0.457 (rechts)

BAM-Prüfvorlage TG95; Farbmimetrik-Systeme MRS18 & ORS18input:  $olv^*setrgbcolor$

D65: 9 und 16stufige Farbreihen für 10 Bunttöne

output: no change compared to input

### Eingabe: Farbmimetrisches Reflexions-System MRS18

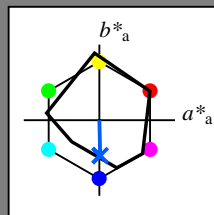
für Buntton  $h^* = lab^*h = 271/360 = 0.754$

$lab^*ch$  und  $lab^*nch$

D65: Buntton B

LCH\*Ma: 40 50 271

rgb\*Ma: 0.0 0.37 1.0



#### MRS18; adaptierte CIELAB-Daten

	$L^*=L_a^*$	$a_a^*$	$b_a^*$	$C_{ab,a}^*$	$h_{ab,a}^*$
RMa	49.63	66.96	38.37	77.18	30
JMa	90.7	-6.36	88.75	88.98	94
GMa	52.11	-69.73	9.44	70.37	172
G50BMa	45.03	-36.57	-28.47	46.36	218
BMa	36.65	23.19	-63.05	67.18	290
B50RMa	34.94	57.17	-44.26	72.31	322
NMa	18.01	0.0	0.0	0.0	0
WMa	95.41	0.0	0.0	0.0	0
RCIE	39.92	58.66	26.98	64.56	25
JCIE	81.26	-2.17	67.76	67.79	92
GCIE	52.23	-42.26	11.75	43.87	164
BCIE	30.57	1.15	-46.84	46.87	271

Dreiecks-Helligkeit  $t^*$

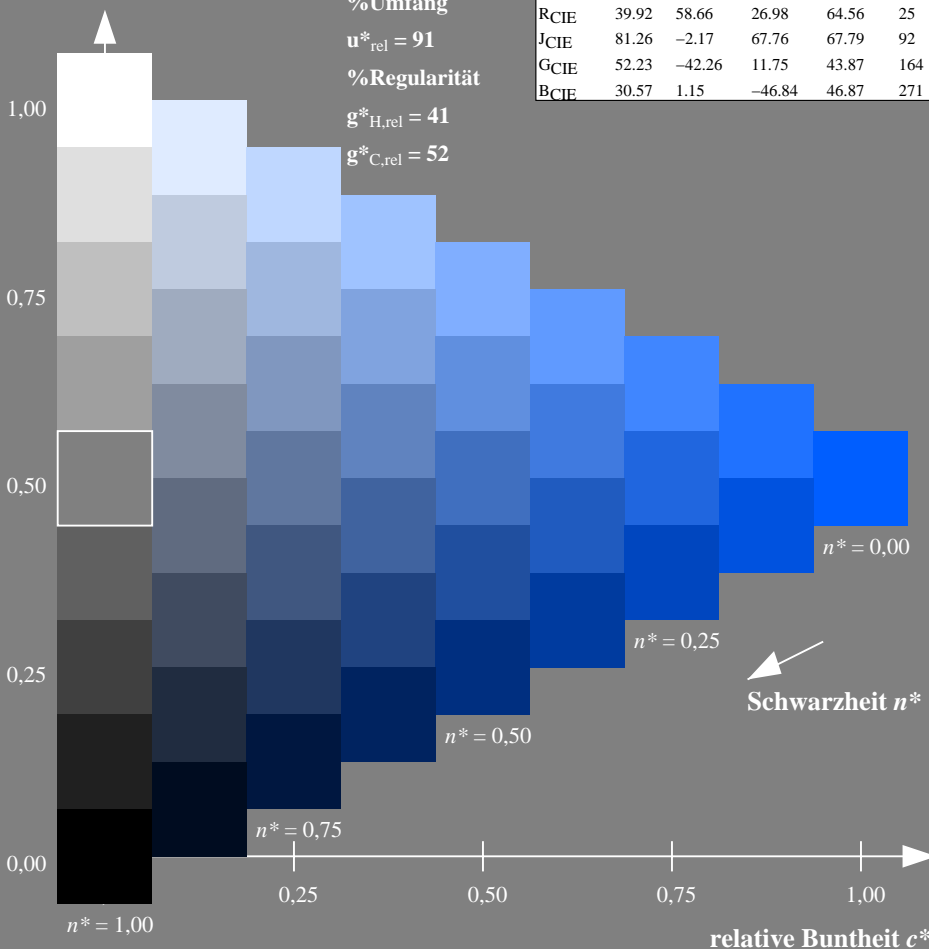
%Umfang

$u_{rel}^* = 91$

%Regularität

$g_{H,rel}^* = 41$

$g_{C,rel}^* = 52$



### Ausgabe: Farbmimetrisches Reflexions-System ORS18

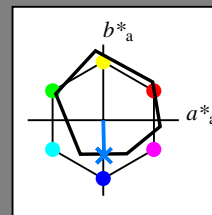
für Buntton  $h^* = lab^*h = 271/360 = 0.754$

$lab^*ch$  und  $lab^*nch$

D65: Buntton B

LCH\*Ma: 42 45 271

rgb\*Ma: 0.0 0.49 1.0



#### ORS18; adaptierte CIELAB-Daten

	$L^*=L_a^*$	$a_a^*$	$b_a^*$	$C_{ab,a}^*$	$h_{ab,a}^*$
OMa	47.94	65.37	50.52	82.62	38
YMa	90.37	-10.27	91.77	92.34	96
LMa	50.9	-62.79	34.95	71.87	151
CMa	58.62	-30.35	-45.01	54.3	236
VMa	25.71	31.11	-44.42	54.24	305
MMa	48.13	75.27	-8.35	75.73	354
NMa	18.01	0.0	0.0	0.0	0
WMa	95.41	0.0	0.0	0.0	0
RCIE	39.92	58.66	26.98	64.56	25
JCIE	81.26	-2.17	67.76	67.79	92
GCIE	52.23	-42.26	11.75	43.87	164
BCIE	30.57	1.15	-46.84	46.87	271

Dreiecks-Helligkeit  $t^*$

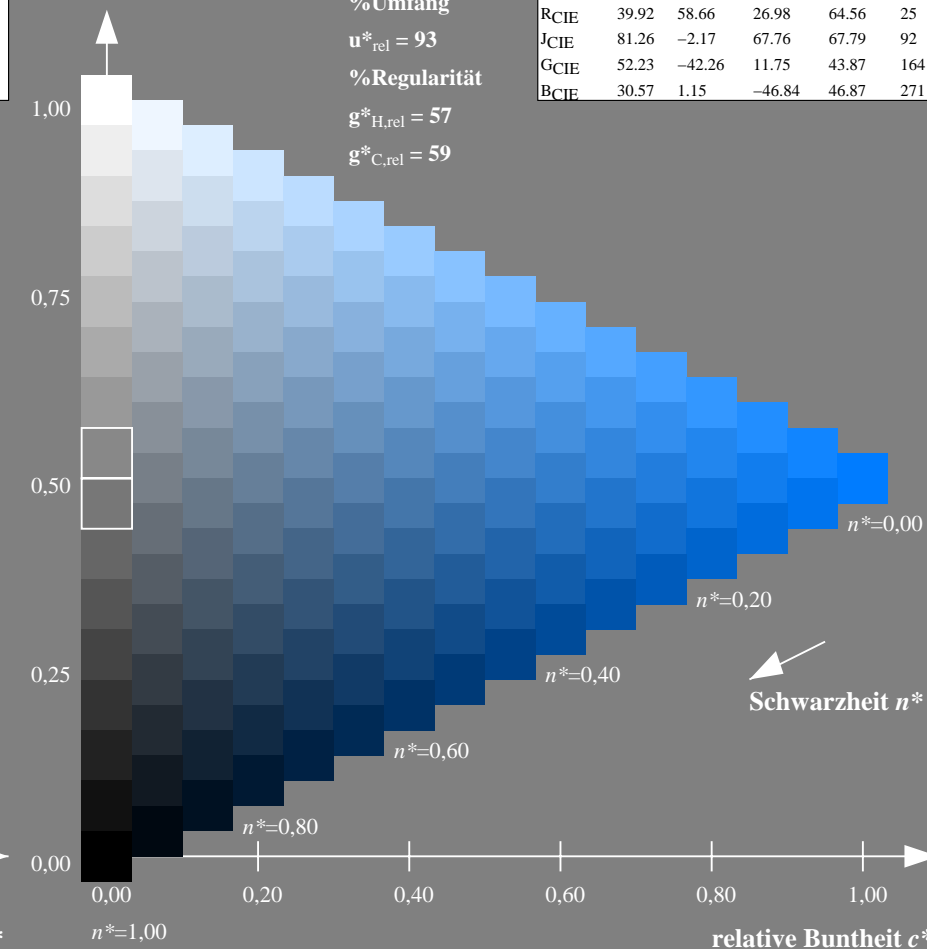
%Umfang

$u_{rel}^* = 93$

%Regularität

$g_{H,rel}^* = 57$

$g_{C,rel}^* = 59$



TG950-7, 9stufige Reihen für konstanten CIELAB Buntton 271/360 = 0.754 (links)

16stufige Reihen für konstanten CIELAB Buntton 271/360 = 0.754 (rechts)

BAM-Prüfvorlage TG95; Farbmimetrik-Systeme MRS18 & ORS18input:  $olv^*setrgbcolor$

D65: 9 und 16stufige Farbreihen für 10 Bunttöne

output: no change compared to input